

ĆWICZENIE 2

Autor pierwotnej i nowej wersji; mgr inż. Leszek Widomski

UKŁADY LINIOWE

Celem ćwiczenia jest poznanie właściwości i metod opisu liniowych układów elektrycznych i elektronicznych przenoszących sygnały. Rozważane będą odpowiedzi liniowych układów biernych w dziedzinie częstotliwości i czasu.

WPROWADZENIE

Opis przenoszenia sygnałów przez układy fizyczne, nie tylko elektryczne, wymaga znajomości właściwości tego układu, charakteryzowanych za pomocą parametrów układu, n.p. R , L , C . Natomiast stan układu opisują wielkości fizyczne czyli współrzędne stanu, n.p. napięcie U , natężenie prądu I , ciśnienie p , prędkość v itd.

Zmienne w czasie wielkości fizyczne są sygnałami, przy czym rozróżnia się sygnały wejściowe, oddziałujące na stan układu, i sygnały wyjściowe, informujące o stanie układu i stanowiące jego odpowiedź na pobudzenie sygnałem wejściowym. W układach elektrycznych każde wejście lub wyjście zawiera dwa zaciski i taką parę nazywa się wrotami. Jednym z najprostszych układów jest czwórnik, który ma 4 zaciski, zwany też dwuwrotnikiem. Znaczenie czwórników polega m.in. na tym, że w wielu zagadnieniach układy bardziej złożone można sprowadzić do równoważnych im czwórników. W układach praktycznych, jeden z zacisków może być wspólny dla wejścia i wyjścia.

W ćwiczeniu rozważać będziemy tylko czworniki liniowe (czyli o parametrach niezależnych od współrzędnych stanu czyli od sygnałów), stacjonarne (czyli o parametrach niezależnych od czasu), o stałych skupionych (czyli o parametrach niezależnych od współrzędnych przestrzennych).

Czworniki mogą być bierne lub czynne, zależnie od tego, czy w dowolnej chwili średnia energia sygnałów przekazywanych łącznie do i z czwórnika jest dodatnia czy ujemna. W tym ostatnim przypadku, czwórnik oddaje na zewnątrz więcej energii sygnału, niż jej pobiera ze źródła sygnału, oczywiście kosztem jakichś innych źródeł energii, najczęściej zasilającej, a nie tylko z samych źródeł sygnałów. Zwykle czworniki zawierające tylko oporniki, cewki i kondensatory są czwornikami biernymi, zaś czworniki zawierające tranzystory bipolarne lub unipolarne (czyli polowe), lampy elektronowe, wzmacniacze operacyjne i t.d. są na ogół czwornikami czynnymi.

Istotnym zagadnieniem w praktycznych zastosowaniach czwórników liniowych jest sposób przenoszenia sygnałów: wierny lub ze zniekształceniami. Metody analizy czy pomiarów sprowadzają się najczęściej do wyznaczenia odpowiedzi (reakcji) układu w dziedzinie czasu lub w dziedzinie częstotliwości. W dziedzinie czasu interesuje nas reakcja układu w stanie nieustalonym, a więc na pobudzenie funkcją skokową, zaś w dziedzinie częstotliwości reakcja w stanie ustalonym - na pobudzenie sygnałem harmonicznym. Do opisu analitycznego przydatne wtedy są odpowiednio: 1) rachunek operatorowy oparty na przekształceniu Laplace'a (stany nieustalone), 2) metoda symboliczna, wykorzystująca zapis sygnałów w postaci zespolonej (odpowiedź na sygnały harmoniczne). Między tymi dwoma opisami istnieje ścisły związek.

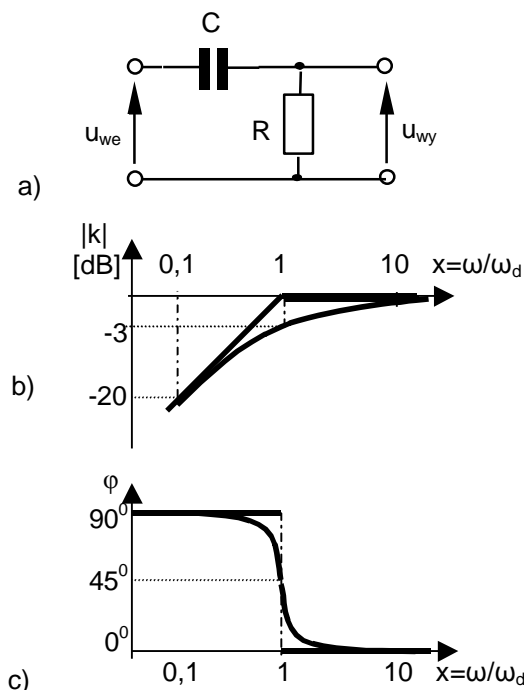
UKŁADY W DZIEDZINIE CZĘSTOTLIWOŚCI

W dziedzinie częstotliwości $f = \omega/2\pi$ napięciom i prądom harmonicznym zależnym od czasu ($\sin\omega t$ lub $\cos\omega t$) przyporządkowuje się zespolone amplitudy napięcia U i prądu I .

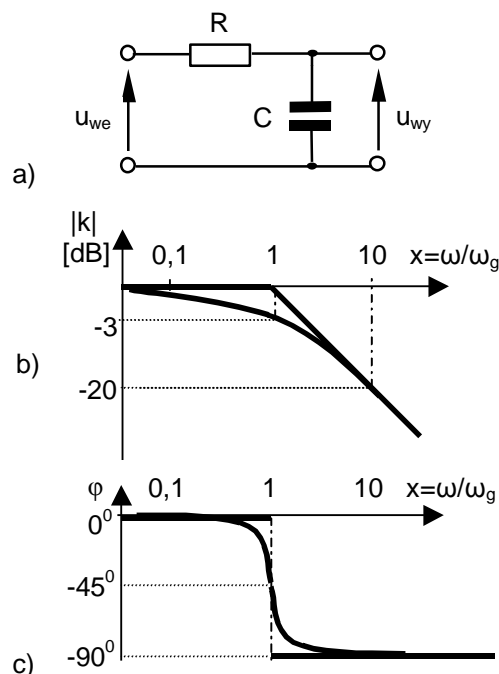
Najprostsze elementy biernie cewki o indukcyjności L i kondensatory o pojemności C stanowią dwójniki, które charakteryzuje impedancja $Z = U/I = |Z|e^{j\phi}$ w przypadku elementów idealnych równa:

- a) dla cewki $Z_L = j\omega L$, $|Z_L| = \omega L$, $\phi_L = +\pi/2$, więc moduł $|Z_L|$ zależy od częstotliwości wprost proporcjonalnie, zaś kąt fazowy impedancji cewki ϕ_L nie zależy od częstotliwości i wynosi $+90^\circ$ (napięcie na cewce zawsze wyprzedza prąd o ćwierć okresu sinusoidy)
- b) dla kondensatora $Z_C = 1/j\omega C$, $|Z_C| = 1/\omega C$, $\phi_C = -\pi/2$, więc moduł $|Z_C|$ zależy od częstotliwości odwrotnie proporcjonalnie, zaś kąt fazowy impedancji cewki ϕ_L nie zależy od częstotliwości i wynosi -90° (napięcie na kondensatorze zawsze opóźnia się wobec prądu o ćwierć okresu).

Badane w ćwiczeniu układy z rys.1a i 2a stanowią czwórnik, które charakteryzuje m.in. transmitancja napięciowa $k_u = U_{wy}/U_{we} = |k_u|e^{j\phi}$, gdzie $|k_u|$ to moduł transmitancji napięciowej, ϕ – jej kąt fazowy.



Rys.1



Rys.2

Układ z rys.1a stanowi, jak się wkrótce okaże, filtr górnoprzepustowy o transmitancji:

$$k(\omega) = \frac{R}{R + \frac{1}{j\omega C}} = \frac{\omega RC}{\omega RC - j} = \frac{\omega RC}{\sqrt{(\omega RC)^2 + 1}} e^{j \arctan(\omega RC)} \quad \text{lub} \quad k(x) = \frac{x}{\sqrt{x^2 + 1}} e^{j \arctan x}$$

Tu wprowadzono unormowaną częstotliwość $x = \omega RC = \omega/\omega_g$, gdzie $\omega_g = 1/RC$ jest charakterystyczną pulsacją tego układu. Zależności modułu $|k|$ i fazy ϕ od częstotliwości przedstawiają rys.1b i 1c, przy czym sporządzono je we współrzędnych logarymicznych, gdyż ważne są przypadki asymptotyczne tych funkcji w przyjętych układach współrzędnych, a mianowicie:

dla $x \ll 1$, co odpowiada $\omega \ll \omega_g$, jest: $20 \log |k| \approx +20 \log x$, $\phi \approx +\pi/2$

dla $x \gg 1$, co odpowiada $\omega \gg \omega_g$, jest: $20 \log |k| \approx 0$, $\phi \approx 0$

Z wykresu 1a widoczne są właściwości filtrujące układu: przy $x \ll 1$ ($f \ll f_g$) układ tłumi napięcie ($|k| < 1$), zaś przy $x \gg 1$ ($f \gg f_g$) układ przenosi sygnały prawie bez zmiany ($|k| \approx 1$), $\phi \approx 0$; stąd jego nazwa – filtr górnoprzepustowy (przepuszcza sygnały o częstotliwościach $f \gg f_g$, tłumi zaś sygnały o $f \ll f_g$). Częstotliwość graniczną (tutaj dolną) f_g definiuje się jako tę częstotliwość, przy której $|k| = 1/\sqrt{2} \approx 0,707 \approx -3$ dB., co odpowiada t.zw. punktom połowy mocy. Dla filtra górnoprzepustowego z rys.1a dolna częstotliwość graniczna wynosi $f_g = \omega_g / 2\pi = 1/2\pi RC$.

Podobne rozważania dla układu z rys.2a dają:

$$k(\omega) = \frac{\frac{1}{j\omega C}}{R + \frac{1}{j\omega C}} = \frac{1}{1 + j\omega RC} = \frac{1}{\sqrt{(\omega RC)^2 + 1}} e^{-j \arctan(\omega RC)} \quad \text{lub} \quad k(x) = \frac{1}{\sqrt{1 + x^2}} e^{-j \arctan x}$$

Wprowadzono tu unormowaną częstotliwość $x = \omega RC = \omega/\omega_g$, gdzie $\omega_g = 1/RC$ jest charakterystyczną pulsacją tego układu. Zależności modułu $|k|$ i fazy ϕ od częstotliwości przedstawiają rys.2 i 2c, przy czym sporządzono je we współrzędnych logarytmicznych, gdyż ważne są przypadki asymptotyczne tych funkcji w przyjętych układach współrzędnych, a mianowicie:

dla $x \ll 1$, co odpowiada $\omega \ll \omega_g$, jest: $20 \log |k| \approx 0$, $\phi \approx 0$

dla $x \gg 1$, co odpowiada $\omega \gg \omega_g$, jest: $20 \log |k| \approx -20 \log x$, $\phi \approx -\pi/2$

Dla $x \ll 1$ ($f \ll f_g$) układ przenosi sygnały prawie bez zmiany: $|k| \approx 1$, $\phi \approx 0$, zaś dla $x \gg 1$ czyli przy $f \gg f_g$ tłumi sygnały, gdyż $|k| \approx 1/x \ll 1$. Jest to więc filtr dolnoprzepustowy przepuszczający sygnały o $f \ll f_g$ i tłumiący sygnały o $f \gg f_g$, przy czym f_g jest teraz górną częstotliwością graniczną filtru dolnoprzepustowego, zdefiniowaną jak poprzednio dla zmniejszenia modułu $|k|$ do wartości $|k_g| = 1/\sqrt{2} \approx 0,707 \approx -3$ dB, i równą $f_g = \omega_g / 2\pi = 1/2\pi RC$

UKŁADY W DZIEDZINIE CZASU

Działanie idealnych elementów obwodu cewek o indukcyjności L i kondensatorów o pojemności C w dziedzinie czasu opisują równania wiążące ze sobą zależne od czasu napięcia $u(t)$ i prądy $i(t)$:

a) dla cewki $u(t) = L di/dt$ b) dla kondensatora $i(t) = C du/dt$

Istotne jest zachowanie tych elementów przy zmianach $u(t)$ oraz $i(t)$. Napięcie na cewce przy powolnych zmianach płynącego przez nią prądu jest małe i w przypadku granicznym prądu stałego ($di/dt = 0$) równe jest zero; stwierdzamy, że **dla prądu stałego cewka stanowi zwarcie**. Przy **szybkich zmianach prądu** napięcie jest wielkie i w granicznym przypadku **cewka stanowi rozwarcie** (cewka jest dławikiem).

Napięcie na kondensatorze niewiele się zmienia, gdy prąd przez niego płynący jest mały, co w granicznym przypadku napięcia stałego powoduje, że $i=0$, a więc **dla prądu stałego kondensator stanowi rozwarcie**. Natomiast przy **szybkich zmianach napięcia** natężenie prądu jest wielkie i kondensator w granicznym przypadku **stanowi zwarcie**.

Aby zrozumieć działanie w czasie układów z rys.1a i 2a rozważmy sytuację, gdy kondensator C początkowo nie naładowany zostaje dołączony do źródła o SEM E w obwodzie zawierającym opornik R (dołączenie czwórnik z rys.1a do źródła napięcia E). Obowiązuje wtedy równanie:

$$u_c + RC du_c/dt = E \quad \text{z warunkiem początkowym } u_c(0) = 0$$

Jego rozwiązanie ma postać:

$$u_c(t) = E[1 - \exp(-t/RC)] = E[1 - \exp(-t/\tau)]$$

Napięcie na kondensatorze C rośnie wykładniczo od 0 do E (ładowanie kondensatora) ze stałą czasu $\tau = RC$; stan ustalony po naładowaniu kondensatora osiąga się teoretycznie po nieskończone długim czasie, w praktyce zaś często umownie przyjmuje się, że następuje to po czasie równym 5τ (wtedy $u_C = 0,993E$, błąd względny poniżej 1 %). Natężenie prądu w obwodzie podczas ładowania jest równe

$$i(t) = C \, du_C/dt = (E/R) \exp(-t/RC)$$

Napięcie na oporniku R równe jest $u_{wy}(t) = R \, i(t) = E \exp(-t/RC)$, co tłumaczy przebieg z rys.1b. W chwili $t=0$ prąd jest równy $i(0) = E/R$, napięcie na oporniku $u_{wy}(0)=E$, napięcie na kondensatorze $u_C(0)=0$, co potwierdza wcześniejsze stwierdzenie, że przy gwałtownych zmianach napięcia źródła napięcie na kondensatorze nie może się zmienić, czyli kondensator stanowi zwarcie dla szybkich zmian w obwodzie.

W stanie ustalonym: napięcie na kondensatorze jest równe E, prąd w obwodzie nie płynie, a więc napięcie na oporniku jest równe zeru.

Jeśli następnie rozważyć sytuację polegającą na odłączeniu obwodu RC w opisanym przed chwilą stanie od źródła E i zwarcia wejścia obwodu z rys.1a do masy, to równanie ma postać:

$$u_C + RC \, du_C/dt = 0 \quad \text{z warunkiem początkowym } u_C(0) = E$$

Jego rozwiązanie ma postać:

$$u_C(t) = E \exp(-t/RC) = E \exp(-t/\tau)$$

Napięcie na kondensatorze C maleje wykładniczo od E do 0 (rozładowanie kondensatora) ze stałą czasu $\tau = RC$, zaś napięcie wyjściowe na oporniku R jest równe $u_{wy}(t) = -E \exp(-t/\tau)$.

Napięcie wyjściowe czwórnika z rys.1 opisane funkcjami: a) $u_{wy}(t) = E \exp(-t/\tau)$ podczas ładowania kondensatora, b) $u_{wy}(t) = -E \exp(-t/\tau)$ podczas rozładowania kondensatora - tłumaczy przebiegi otrzymane w ćwiczeniu w przypadku układu różniczkującego, stanowiącego szczególny przypadek filtru górnoprzepustowego, mianowicie przy pobudzaniu go przebiegiem okresowym o okresie $T=2\pi/\omega$ wtedy, gdy $\omega \ll \omega_g = 1/\tau = 1/RC$ (patrz poniżej WARUNKI RÓŻNICZKOWANIA)

Działanie układu przedstawionego na rys. 2a można opisać w dziedzinie czasu; mówimy wtedy, że w pewnych warunkach jest to układ całkujący napięcie wejściowe $u_{we}(t)$ (w przybliżeniu!). Zakładając, że wyjście układu nie jest obciążone, opisują go równania:

$$i = C \frac{du_{wy}}{dt} \quad \text{oraz} \quad u_{we} = Ri + u_{wy}, \quad \text{prowadzące do} \quad RC \frac{du_{wy}}{dt} + u_{wy} = u_{we}$$

a więc do liniowego równania różniczkowego pierwszego rzędu,.

$$u_{wy}(t) = \frac{1}{RC} \int_0^t u_{we}(t) dt + u_{wy}(0)$$

Tylko wtedy, gdy $t \ll \tau = RC$, zachodzi w przybliżeniu:

Jeśli do wejścia czwórnika z rys.2a, przyłożyć skok napięcia $U_1 \cdot 1(t)$

i przyjąć, że $u_{wy}(0) = 0$, to odpowiedź układu dla $t > 0$ ma postać:

$$u_{wy}(t) = U_1 (1 - e^{-\frac{t}{RC}})$$

$$u_{wy}(t) = \frac{U_1}{RC} t$$

i tylko dla $t \ll \tau = RC$ otrzymujemy w przybliżeniu (rys. 3b):

a więc napięcie wyjściowe jest proporcjonalne do czasu, jak w przypadku idealnego integratora.

WARUNEK RÓŻNICZKOWANIA PRZEBIEGÓW OKRESOWYCH

Napięcie wyjściowe czwórnika $u_2(t)$ ma być proporcjonalne (współczynnik proporcjonalności a) do pochodnej napięcia wejściowego $u_1(t)$:

$$u_2(t) = a \frac{du_1}{dt}$$

Jeśli $u_1 = \cos(\omega t)$, to metoda symboliczna (metoda zespolonych amplitud):

1. przyporządkowuje funkcjom czasu $u_1(t)$, $u_2(t)$ zespolone amplitudy U_1 , U_2 ,
2. operacji różniczkowania w dziedzinie czasu odpowiada mnożenie przez $j\omega$
3. przyporządkowanie jest liniowe i jednorodne.

Stąd otrzymujemy zespolone równanie: $U_2 = j\omega a U_1$

Transmitancja napięciowa układu całkującego $k_u = U_2/U_1 = |k_u|e^{j\phi}$ musi więc być następującą funkcją częstotliwości:

$$k_u = j\omega a$$

Odpowiednie warunki dla modułu i fazy transmitancji napięciowej k_u mają postać:

$$|k_u| = a\omega \quad \phi = \arg k_u = +\pi/2$$

Aby układ różniczkował przebiegi okresowe, faza jego transmitancji powinna wynosić $+\pi/2$ nie zależąc od częstotliwości, zaś jego moduł transmitancji musi zależeć wprost proporcjonalnie (liniowo) od częstotliwości, a więc w układzie współrzędnych podwójnie logarytmicznych ($|k_u|$ w dB od częstotliwości w skali logarytmicznej) rosnać liniowo ze wzrostem częstotliwości z nachyleniem $+20$ dB/dec.

Konfrontując otrzymany warunek z wynikiem analizy układu z rys.2a widać, że jest on układem **różniczkującym tylko dla częstotliwości $f < 1/(2\pi RC)$** , zaś dla częstotliwości $f > 1/(2\pi RC)$ przenosi układy prawie bez zniekształceń ($|k_u| \approx 1$, $\phi = 0$).

Przy pobudzeniu sygnałem prostokątnym w warunkach $f > 1/(2\pi RC)$ parametrem charakterystycznym odpowiedzi wyjściowej jest **zwis**, zdefiniowany jako względna różnica wartości chwilowych początkowej i końcowej: $z = (U_1 - U_2)/U_1$

WARUNEK CAŁKOWANIA PRZEBIEGÓW OKRESOWYCH

Napięcie wyjściowe czwórnik $u_2(t)$ ma być proporcjonalne (współczynnik proporcjonalności a) do całki napięcia wejściowego $u_1(t)$:

$$u_2(t) = a \int u_1(t) dt$$

Jeśli $u_1 = \cos(\omega t)$, to metoda symboliczna (metoda zespolonych amplitud):

1. przyporządkowuje funkcjom czasu $u_1(t)$, $u_2(t)$ zespolone amplitudy U_1 , U_2 ,
2. operacji całkowania w dziedzinie czasu odpowiada dzielenie przez $j\omega$
3. przyporządkowanie jest liniowe i jednorodne.

Stąd otrzymujemy zespolone równanie: $U_2 = a U_1 / j\omega$

Transmitancja napięciowa układu całkującego k_u musi więc być następującą funkcją częstotliwości:

$$k_u = a / j\omega$$

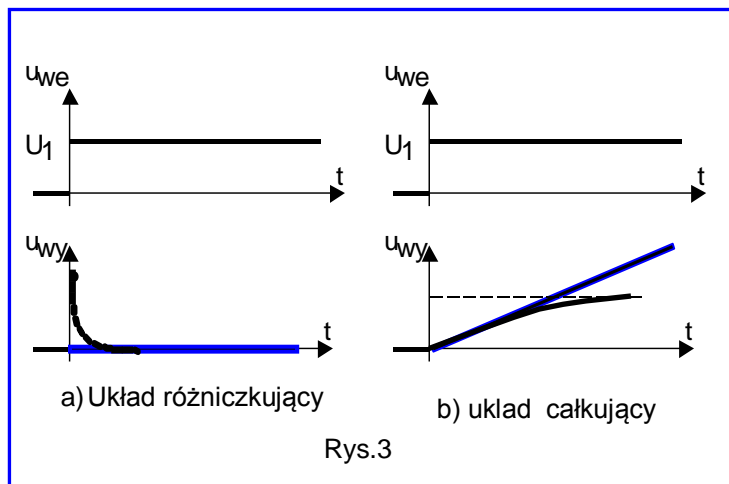
Odpowiednie warunki dla modułu i fazy transmitancji napięciowej k_u mają postać:

$$|k_u| = a/\omega \quad \phi = \arg k_u = -\pi/2$$

Aby układ całkował przebiegi okresowe, faza jego transmitancji powinna wynosić $-\pi/2$ nie zależąc od częstotliwości, zaś jego moduł transmitancji musi zależeć odwrotnie proporcjonalnie (hiperbolicznie) od częstotliwości, a więc w układzie współrzędnych podwójnie logarytmicznych ($|k_u|$ w dB od częstotliwości w skali logarytmicznej) musi maleć liniowo ze wzrostem częstotliwości z nachyleniem -20 dB/dec.

Konfrontując otrzymany warunek z wynikiem analizy układu z rys.2a widać, że jest on układem **całkującym tylko dla częstotliwości $f > 1/(2\pi RC)$** , zaś dla częstotliwości $f < 1/(2\pi RC)$ przenosi układy prawie bez zniekształceń ($|k_u| \approx 1$, $\phi \approx 0$)

Przy pobudzeniu sygnałem prostokątnym o $f \ll 1/(2\pi RC)$ parametrem charakterystycznym odpowiedzi wyjściowej filtru dolnoprzepustowego jest **czas narastania** $t_r = t_2 - t_1$, gdzie t_1 to czas osiągnięcia poziomu 0,1 wartości maksymalnej, zaś t_2 to czas osiągnięcia poziomu 0,9 tejże wartości.



Gdyby pobudzenie miało postać periodycznego ciągu impulsów o okresie T i wypełnieniu $1/2$, to całkowanie jest tym dokładniejsze, im mniejsze jest T (przy stałych R, C, U_1); towarzyszy temu zmniejszenie amplitudy przebiegu wyjściowego, równej $U_2 = U_1 T / (RC)$.

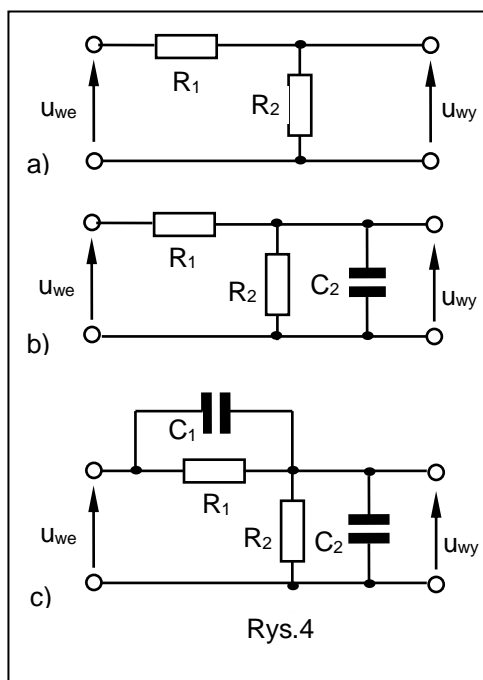
Znajomość charakterystyk częstotliwościowych transmitancji różnych układów elektrycznych

pozwała ocenić, a często i obliczyć odpowiedź układu na pobudzenie dowolnym sygnałem.

Przebieg charakterystyki w **zakresie wielkich częstotliwości** określa odpowiedź układu na szybkie **zmiany** sygnału (krótkie przedziały czasu), zaś przebieg charakterystyki w **zakresie małych częstotliwości** - odpowiedź na **wolne zmiany** sygnału (długie przedziały czasu).

SONDA OSCYLOSKOPOWA

Przykładem praktycznego zastosowania powyższych uwag może być kompensacja wpływu pojemności na działanie oporowego dzielnika napięcia (rys.4a), stosowana w sondach biernych, zwiększających oporność wejściową oscyloskopów. Jeśli oscyloskop ma oporność wejściową R_2 (zwykle $1\text{ M}\Omega$), która zbytnio obciąża badany układ (jest zbyt mała), to najprościej można zredukować to obciążające działanie oscyloskopu, dodając opornik R_1 , tworzący z opornikiem R_2 dzielnik napięcia o transmitancji $k_{u0} = R_2 / (R_1 + R_2)$; zwykle podział napięcia następuje w stosunku 10:1, a zatem $R_1 = 9R_2 = 9\text{ M}\Omega$. Wprawdzie towarzyszy temu 10-krotne zmniejszenie czułości, ale nie to jest istotnym problemem. Natomiast źródłem kłopotów jest pojemność C_2 (rys.4b), na którą składa się pojemność wejściowa samego oscyloskopu i pojemność kabla koncentrycznego doprowadzającego sygnały z badanego obiektu do oscyloskopu. Skutki działania tej pojemności można opisać zarówno w dziedzinie częstotliwości, jak i w dziedzinie czasu.



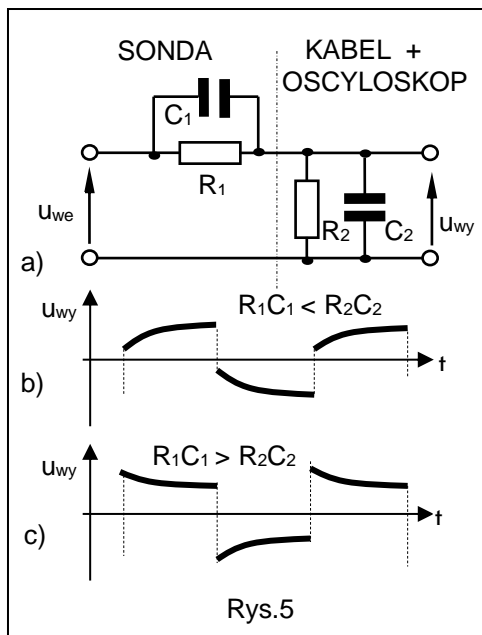
W dziedzinie częstotliwości, obecność C_2 powoduje załamanie płaskiej charakterystyki amplitudowej $|k_u(\omega)|$ czwórnika R_1, R_2, C_2 przy częstotliwości f_g takiej, że $\omega_g = (R_1 + R_2) / (R_1 R_2 C_2)$. Natomiast w dziedzinie czasu, obecność C_2 powoduje to, że charakterystyka przejściowa, czyli odpowiedź układu na skok jednostkowy, ma skończony (tu w znaczeniu różny od zera) czas narastania, zdefiniowany jako czas pomiędzy zdarzeniami polegającymi na osiągnięciu przez sygnał poziomów

napięcia równych 0,1 i 0,9 wartości w stanie ustalonym. Prowadzi to oczywiście do zniekształceń sygnałów przenoszonych przez rozważany czwórnik (szczególnie wyraźnie widać to w przypadku sygnałów prostokątnych - rys.5b).

Niekorzystny wpływ pojemności C_2 można skompensować, dodając do układu kondensator o pojemności C_1 (rys.4c) dobranej w ten sposób, by transmitancja całego układu nie zależała od częstotliwości. Kompensacja spowoduje to, że:

- w dziedzinie częstotliwości – charakterystyka amplitudowa będzie płaska ,
- w dziedzinie czasu – odpowiedź skokowa będzie minimalnie zniekształcona.

Proces kompensacji można śledzić doświadczalnie, obserwując na oscyloskopie kształt napięcia wyjściowego u_{wy} , stanowiącego reakcję układu (rys.5a) na pobudzenie sygnałem prostokątnym z generatora. Gdy brak jest kondensatora C_1 lub gdy jego pojemność jest za mała, to dzielnik działa jak filtr dolnoprzepustowy, silniej tłumiący składowe o wielkich częstotliwościach, niż składowe o małych częstotliwościach, co powoduje zniekształcenie przebiegu w zakresie jego szybkich zmian (zbocza), w sposób pokazany na rys.5b. Z drugiej strony, zbyt duża pojemność C_1 daje efekt przeciwny: dzielnik napięcia jest przekompensowany i zachowuje się jak filtr górnoprzepustowy, tłumiący silniej składowe o małych częstotliwościach, czyli względnie biorąc - podbijający składowe o wielkich częstotliwościach (rys.5c). Pomiędzy tymi wartościami skrajnymi znajduje się wartość C_1 , usuwająca oba typy zniekształceń i spełniająca warunek (proszę go wyprowadzić!): $R_1 C_1 = R_2 C_2$.



WYKONANIE ĆWICZENIA

Ćwiczenie ma dwie części: w pierwszej należy zasymulować działanie każdego z czterech układów, w drugiej należy dokonać pomiarów takich samych rzeczywistych układów. Pierwszą część wykonuje się przy pomocy programu NI Multisim, drugą natomiast realizuje się wykorzystując przyrząd NI ELVIS II+ wraz z jego programem NI ELVISmx. W obu przypadkach bada się zachowanie układów zarówno w dziedzinie częstotliwości, jak i w dziedzinie czasu

I. Symulacja układów w dziedzinie częstotliwości

- 1) W programie sporządzić schemat kolejno każdego z czterech układów, dołączając do niego przyrządy: generator napięć sinusoidalnych i analizator Bodego
- 2) Zdjąć charakterystyki amplitudowe $|k_u(f)|$ i fazowe $\phi(f)$ transmitancji napięciowej $k(f) = |k_u(f)|e^{j\phi(f)}$ dla przebiegów harmoniczných dla następujących układów (wyniki zapisać w pliku) :
 - filtru górnoprzepustowego (układu różniczkującego) z rys. 1a przy $R = 3 \text{ k}\Omega$, $C = 51 \text{ nF}$,
 - filtru dolnoprzepustowego (układu całkującego) z rys.2a przy $R = 27 \text{ k}\Omega$, $C = 5,6 \text{ nF}$,
 - czwórnik z rys.4b, zawierającego $R_1 = 27 \text{ k}\Omega$, $R_2 = 3 \text{ k}\Omega$, $C_2 = 51 \text{ nF}$ (nieskompensowany dzielnik napięcia, bez C_1 !)

- 3) Wyznaczyć pojemność C_1 niezbędną do kompensacji częstotliwościowej badanego poprzednio nieskompensowanego dzielnika napięcia z rys.4b i po dołączeniu odpowiedniego kondensatora C_1 wyznaczyć identycznie jak poprzednio charakterystykę amplitudową. Wyznaczyć w każdym z pierwszych trzech przypadków częstotliwość graniczną f_g , odpowiadającą zmniejszeniu modułu transmitancji napięciowej $|k_u(f)|$ czwórnika o 3 dB.

II. Symulacja układów w dziedzinie czasu

- 1) W programie Multisim wykorzystać schematy kolejno każdego z czterech układów, dołączając do nich przyrządy: generator napięć prostokątnych i oscyloskop dwukanałowy
- 2) Do wejścia każdego z układów doprowadzić sygnał prostokątny o częstotliwości kolejno dziesięciokrotnie mniejszej niż f_g , a następnie dziesięciokrotnie większej niż f_g i zapisać w pliku przebiegi wejściowe i wyjściowe każdego z układów, zachowując skale obu osi. Dla czwartego układu wyznaczyć odpowiedź na sygnał prostokątny dla tych samych częstotliwości, jak w przypadku dzielnika nieskompensowanego

III. Pomiary charakterystyk układów w dziedzinie częstotliwości wykorzystując ELVIS

- 1) Na pokładzie przyrządu sporządzić kolejno układ według każdego z czterech schematów dołączając do niego przyrządy: generator napięć sinusoidalnych i analizator Bodego, a następnie włączyć przyrząd do sieci i zasilić przyrządy pomiarowe ELVIS-a oraz uruchomić program obsługi
- 2) Zdjąć charakterystyki amplitudowe $|k_u(f)|$ i fazowe $\phi(f)$ transmitancji napięciowej $k(f) = |k_u(f)|e^{j\phi(f)}$ dla przebiegów harmonicznnych dla następujących układów (wyniki zapisać w pliku):
 - filtru górnoprzepustowego (układu różniczkującego) z rys. 1a przy $R = 3 \text{ k}\Omega$, $C = 51 \text{ nF}$,
 - filtru dolnoprzepustowego (układu całkującego) z rys.2a przy $R = 27 \text{ k}\Omega$, $C = 5,6 \text{ nF}$,
 - czwórnika z rys.4b, zawierającego $R_1 = 27 \text{ k}\Omega$, $R_2 = 3 \text{ k}\Omega$, $C_2 = 51 \text{ nF}$ (nieskompensowany dzielnik napięcia, bez C_1 !)
 - czwórnika z rys.4c, zawierającego pojemność C_1 niezbędną do kompensacji

IV. Pomiary odpowiedzi układów w dziedzinie czasu wykorzystując ELVIS

- 1) Na pokładzie przyrządu sporządzić kolejno układ według każdego z czterech schematów, dołączając do niego przyrządy: generator napięć prostokątnych i oscyloskop dwukanałowy, a następnie włączyć przyrząd do sieci i zasilić przyrządy pomiarowe ELVIS-a oraz uruchomić program obsługi
- 2) Do wejścia każdego z układów doprowadzić sygnał prostokątny o częstotliwości kolejno dziesięciokrotnie mniejszej niż f_g , a następnie dziesięciokrotnie większej niż f_g i zapisać w pliku przebiegi wejściowe i wyjściowe każdego z układów, zachowując skale obu osi.

ZADANIA DO OPRACOWANIA

- 1) Przedstawić otrzymane z symulacji oraz z pomiarów rzeczywistych układów charakterystyki amplitudowe transmitancji napięciowej $|k_u(f)|$ i $\phi(f)$ badanych układów, Zapisać asymptotyczne charakterystyki, aproksymujące krzywe doświadczalne i ustalić ich nachylenie.
- 2) Dla zastosowanych rzeczywistych elementów RC obliczyć błędy graniczne częstotliwości górnej i dolnej i porównać obliczone częstotliwości graniczne z otrzymanymi z symulacji i z pomiarów.
- 3) Wyprowadzić warunek kompensacji dzielnika w sondzie oscyloskopowej.
- 4) Przedstawić odpowiedzi skokowe otrzymane z symulacji oraz z badanych układów i wyjaśnić je .